

III-46 差分化による感潮水流の計算法と不規則河道への適用

建設者土木研究所 正員 王 方一
(HANG, Fang-ji)

§1. 概要

前回(第15回, 1960), 不規則矩形河道における非定常流の計算に対して形状要素は等積平均値(図1.6)で處理した方がよいと説明したが計算法は不合理な所があった。

今回は新たに工夫・改良した三角形・矩形格子併用法と三角形・菱形格子併用法を示す。これら二方法は規則水路、不規則矩形水路にだけではなく一般的不規則河道に対しても適用出来、後者に対しては事前に等積平均値を作成しておけば式はそのまま、使用し易い形になっている。基本假定は「有限区間・時間内での水位と流量が直線変化をなす」であり、計算法としては次のような特徴をもつていて。

- 1). 基本假定のもとでは運動方程式の全項を考慮する場合でも差分式は直接解を得ておらず試算、近接点の量の借用を必要とせずまた各項はそれぞれ意味をもつから $\frac{\partial A}{\partial t}$, $\frac{\partial Q}{\partial t}$, $\frac{\partial A}{\partial x}$ を表現する μ , ν , ω などを0とおけばそのまま、費用式として使える。
- 2). 等容積的に處理してあるから区域の区分は等区間にして差支えない。
- 3). 直線分布をなす流量を局部實際断面で割れば距離方向に屈折的分布をなす流速が得られる。
- 4). 不正確な断面平均値を使つた時の水位・流量に対する影響は推定し難い。

§2. 基本方程式

$$\text{貯留式: } \frac{\partial A}{\partial t} + \frac{\partial Q}{\partial x} = 0 \quad \dots \dots \quad (\text{I})$$

$$\text{運動式: } \frac{\partial U}{\partial t} + U \frac{\partial U}{\partial x} + g \frac{\partial \eta}{\partial x} + \frac{f}{R} |U|U = 0 \quad \dots \dots \quad (\text{II})$$

の二式に基づくが (II)式はそれに $U = Q/A$; $\frac{\partial U}{\partial t} = \frac{\partial}{\partial t} \left(\frac{Q}{A} \right)$; $U \frac{\partial U}{\partial x} = \frac{Q}{A} \frac{\partial}{\partial x} \left(\frac{Q}{A} \right)$ を入れて変形

した次の式を用いる。

$$\frac{\partial Q}{\partial t} - \frac{g}{A} \frac{\partial A}{\partial t} + \frac{g}{A} \frac{\partial Q}{\partial x} - \frac{g^2}{A} \frac{\partial A}{\partial x} + g A \frac{\partial \eta}{\partial x} + \frac{f}{R} \frac{|U|Q}{A} = 0 \quad \dots \dots \quad (\text{II-B})$$

η : 水位; Q : 流量; U : 平均流速

R : 径深, $f = g/C^2 = g n^2 R^{-1/3}$; $\frac{f}{R} = g n^2 R^{-4/3}$;

C : Chezyの係数; n : Manningの粗度係数

差分化するときには (II-B) 式の係数にある Q と A は Q_m と A_m にする。添字 (m) は方法未定の平均値を意味する。原点は河口におき、陸側を正の方向とする。また x を水深 D を x 軸より河床までの距離とするとき $\eta = \eta - D$ の関係があり、 x 軸が河床より高ければ D は (-), 低ければ (+) の符号を取る。(図1a)

差分化するときには (II-B) 式の係数にある Q と A は Q_m と A_m にする。添字 (m) は方法未定の平均値を意味する。原点は河口におき、陸側を正の方向とする。また x を水深 D を x 軸より河床までの距離とするとき $\eta = \eta - D$ の関係があり、 x 軸が河床より高ければ D は (-), 低ければ (+) の符号を取る。(図1a)

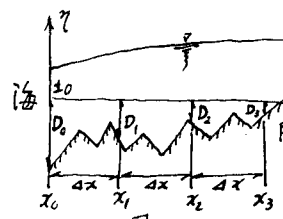


図1a

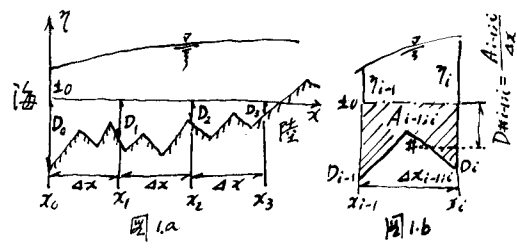


図1b

§3. 三角形・矩形格子併用法

A1. 区域内(境界点以外)の諸点

説明の便宜上、区域を等しい5区間に分け
海側境界点 x_0 では $\eta_0(t)$, 陸側 x_5 では $Q_5(t)$,
また $t=0$ に対して x_0, x_1, \dots, x_5 では η と Q が既知
とする。(図-2)。底辺の長さ $2\Delta x$, 高さ Δt の三

角形 abc に (I) 式と
(II-B) 式を別々に差
分化して解く方法で
ある。 x に関する
中央型(両側)差分
 $\frac{\partial f}{\partial x} = \frac{f_{i+1} - f_i}{2\Delta x}$,
 t に関する前進差

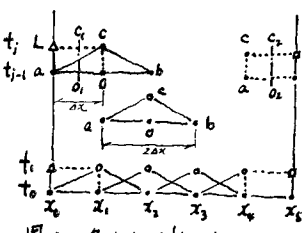


図2. 三角形・矩形格子併用法

分即ち $\frac{\partial f}{\partial t} = \frac{f_c - f_o}{\Delta t}$ を採用する。形状要素は等積平均値(添字*)で表現し水理要素は $Q_m = Q_o$; $Q_m^2 = 1 Q_m / Q_m = 1 Q_o / Q_o$ とおくと(I)式より

$$A_{*c} = A_{*o} - \tau \Delta Q_{ab} \quad (3-1)$$

$\therefore \tau = \Delta t / 2 \Delta x$; A_{*c} と A_{*o} はそれぞれ γ_c と γ_o より定められるものである。また(II-B)式を同じ三角形について同様に差分化すると

$$Q_c = Q_o (1 - K_{*o} + M_* - V_* + E_{*o}) - g \tau A_{*o} \Delta \gamma_{ab} \quad (3-2)$$

$$\begin{aligned} \therefore \tau &= K_{*o} = \lambda R_{*o}^{-1/3} / U_{*o}; \quad \lambda = g n^2 a t \\ U_{*o} &= Q_o / A_{*o}; \quad R_{*o} = \frac{1}{2}(R_{*ao} + R_{*ob}) \\ A_{*o} &= \frac{1}{2}(A_{*ao} + A_{*ob}) \\ M_* &= (A_{*c} - A_{*o}) / A_{*o} \\ V_* &= \tau \Delta Q_{ab} / A_{*o}; \quad \Delta Q_{ab} = Q_b - Q_a \\ E_{*o} &= \tau U_{*o} (A_b - A_a) / A_{*o} \\ \Delta \gamma_{ab} &= \gamma_b - \gamma_a \end{aligned} \quad (3-1)$$

添字*は γ_o に対応する ab 間(長さ $2 \Delta x$)の等積平均値, $*ao$ は γ_o に対応する ao 間(長さ Δx)のそれである。以降混亂のない限り*と#で略記する。(3-1)式で A_{*c} 従って γ_c を求めて後(3-2)式より Q_c は求まるが(3-1)式の別の形 $V_* = -M_*$ (3-1)_B を(3-2)式に入れると一層簡単な式が得られる。

$$Q_c = Q_o (1 - K_{*o} + 2 M_* + E_{*o}) - g \tau A_{*o} \Delta \gamma_{ab} \quad (3-3)$$

(3-2)と比べると V_* が消え Q_a と Q_b が現われず性質上 (I)式と(II-B)式の連立解に外ならない。次に各種の形状の水路について(3-A)式中の諸量の求め方を説明する。

a). 一般的不規則形状をなす河道:

図 3a, 3b, 3c のように適当な水位差毎の各 Δx 間の A と R の等積平均値と各区間区分点の A - γ 曲線を予め作成し、(3-1)式より求めた A_{*c} を $\frac{1}{2}[A_{*ao}(\gamma_o) + A_{*ob}(\gamma_c)]$ と考えて γ_c を求めれば(3-3)式の各項は定まるから Q_c は求まる。

b). 各断面は矩形をなすが巨離方向に不規

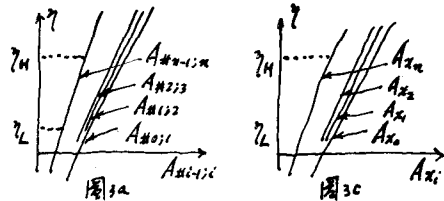


図 3a



図 3c

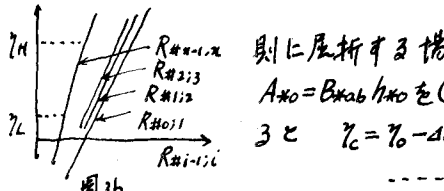


図 3b

則に展開する場合:

$$A_{*o} = B_{*ab} h_{*o} \text{を (3-1) に入れ} \quad 3 \quad \gamma_c = \gamma_o - \Delta Q_{ab} / \left(\frac{B_{*ab}}{2} \right) \quad (3-1)_g$$

$$\begin{aligned} \gamma_c \text{を求めるの } \tau &= (3-3) \text{ 式はそのままで } \text{図 } 3 \text{ b}; \\ (3-1) \text{ 式に次のように内容を補足する.} \\ R_{*o} &= h_{*o} = \gamma_o - D_{*ab}; \quad D_{*ab} = \frac{1}{2}(D_{*ao} + D_{*ob}) \\ A_{*o} &= B_{*ab} h_{*o}; \quad B_{*ab} = \frac{1}{2}(B_{*ao} + B_{*ob}) \\ A_a &= B_a h_a; \quad h_a = \gamma_a - D_a \\ A_b &= B_b h_b; \quad h_b = \gamma_b - D_b \\ M_* &= \Delta \gamma_{ac} / h_{*o}; \quad \Delta \gamma_{ac} = \gamma_c - \gamma_o \end{aligned} \quad (3-1)_g$$

各区間の D と B を算出すれば D_* と B_* は隣接の二つを算術平均すれば定まる

c). 中と河床が直線変化をなす矩形水路: D_* と B_* は算術平均値 $\bar{D}_{ab} = \frac{1}{2}(D_a + D_b)$, $\bar{B}_{ab} = \frac{1}{2}(B_a + B_b)$ と一致する。

B]. 境界要素の求め方

a). 海側: 図-2 a 矩形 $aocL$ (= I) 式を $(A_{*ci} - A_{*oi}) / \Delta t = -(\frac{Q_o + Q_c - Q_a - Q_L}{2}) / \Delta x$ と表現すると

$$Q_L = Q_o + Q_c - Q_a + (A_{*ci} - A_{*oi}) / \Delta t \quad (3-4)$$

を得る。この A_{*ci} は $\bar{\gamma}_{lc} = \frac{1}{2}(\gamma_L + \gamma_c)$; A_{*oi} は $\bar{\gamma}_{ao} = \frac{1}{2}(\gamma_a + \gamma_o)$ に対応す $3 A_{*} \tau$ ある。

矩形の場合には

$$Q_L = Q_o + Q_c - Q_a + (\gamma_L + \gamma_c - \gamma_a - \gamma_o) B_{*c} / \Delta t \quad (3-4)_g$$

b). 陸側: (I) 式を同様に矩形 $obRc$ (= II) 式

c). $A_{*ci} = A_{*oi} - \tau(Q_b + Q_R - Q_o - Q_c) \dots (3-5)$ A_{*ci} は γ_{ci} で $\bar{\gamma}_{cr}$ を求め、 γ_R は $2 \bar{\gamma}_{cr} - \gamma_c$ で求め。矩形の場合には

$$\gamma_R = \gamma_o + \gamma_b - \gamma_c - (Q_b + Q_R - Q_o - Q_c) / \left(\frac{B_{*c}}{2} \right) \quad (3-5)_g$$

C]. 簡略式:

$$\frac{\partial A}{\partial x} \text{ 従って } (3-2) \text{ 式の } \Sigma_{x,0} \text{ を省略すれば}$$

$$Q_c = Q_0 (1 - K_{x,0} + \mu_* - \nu_*) - g \tau A_{x,0} \Delta \gamma_{ab}$$

$$= Q_0 (1 - K_{x,0} + 2\mu_*) - g \tau A_{x,0} \Delta \gamma_{ab} \quad \cdots \cdots \cdots (3-6)$$

$$\frac{\partial A}{\partial x}, \frac{\partial Q}{\partial x} \text{ 従って } \mu_* \text{ と } \Sigma_{x,0} \text{ を省略すれば}$$

$$Q_c = Q_0 (1 - K_{x,0} + \mu_*) - g \tau A_{x,0} \Delta \gamma_{ab} \quad \cdots \cdots \cdots (3-7)$$

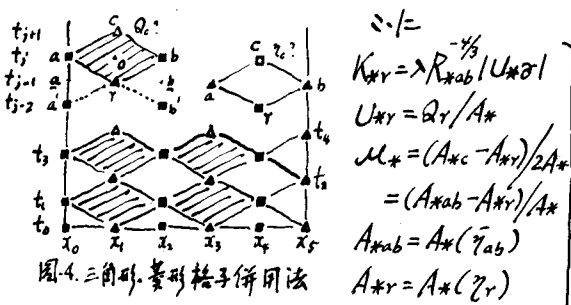
$\frac{\partial A}{\partial t}$ 时々 μ_* をも省略すること

$$Q_c = Q_0 (1 - K_{x,0}) - g \tau A_{x,0} \Delta \gamma_{ab} \quad \cdots \cdots \cdots (3-8)$$

D]. At の求め方: 計算値が発散しないための条件として普通 $At < \frac{4x}{(w + \sqrt{gh})_{max}}$ で格子の大きさをきめるが、 $At < \Delta x / \sqrt{gh}$ できめる文献もあり、一層の検討が期待されている。

§4. 三角形、菱形格子併用法(図4)
§3 と同じ区間数と境界条件を取り初期條件としては x_0, x_1, x_4 の水位と z_1, z_3, x_5 の流量を既知とする。初期三角形 $(\frac{x_0}{z_1})(\frac{x_1}{z_3})$ $(\frac{x_1}{z_3})(\frac{x_4}{z_1})(\frac{x_4}{z_4})$ の頂点の水位 z_1'' と z_4'' を §3 の (3-1) 式で求めて後、 x_1 と x_3 線上の菱形  の頂点流量の Q_m を、 x_2 と x_4 線上の菱形  の頂点水位のみを交互に求めて行く方式である。 については (II-B) 式を x, t に関する共に両側差分化したもの $Q_m = \frac{1}{2}(Q_r + Q_c)$, $Q_m^2 = 1Q_r + 1Q_c$ となる

$$Q_c = \frac{Q_r (1 + \mu_* - \nu_*) - 2g \tau A_{x,ab} \Delta \gamma_{ab}}{1 + 2K_{x,r} - \mu_* + \nu_* - 2\varepsilon_{x,r}} \quad \cdots \cdots \cdots (4-1)$$



$$\bar{\gamma}_r = \bar{\gamma}_{ab} - \frac{1}{4}(\bar{\gamma}_a + \bar{\gamma}_b - \bar{\gamma}_{a'} - \bar{\gamma}_{b'})$$

$$\text{また} \bar{\gamma}_a = \bar{\gamma}_{ab} - \frac{1}{2}(\bar{\gamma}_a + \bar{\gamma}_b - \bar{\gamma}_{a'} - \bar{\gamma}_{b'})$$

(後者は最初の菱形  だけに必要)

$$\varepsilon_{x,r} = \varepsilon / U_{x,r} / (A_b - A_a) / A_{x,ab}$$

その他は (3-A) と同じ

----- (4-A)

(3-1) B 式を (4-1) 式に入れると

$$Q_c = \frac{Q_r (1 + 2\mu_*) - 2g \tau A_{x,ab} \Delta \gamma_{ab}}{1 + K_{x,r} - 2\mu_* - 2\varepsilon_{x,r}} \quad \cdots \cdots \cdots (4-2)$$

図 3a, 3b, 3c を利用して (4-2) 式よりは Q_c が求まるが (4-1) 式には μ_* 従って Q_a と Q_b が入っているから (4-2) 式だけがこの計算方式で使える。

次に差分  に (I) 式を中央型差分化すると

$$A_{x,c} = A_{x,r} - 2\tau A_{x,ab} \quad \cdots \cdots \cdots (4-3)$$

を得、これより Q_c は求まる。

以上のように Q_c と Q_a を交互に決定し、各差分欠けていけるもう一つの要素は $x-t$ 面上で比例配分で求める。矩形の場合には (4-A) 式に次のような内容を補足する。

$$\mu_* = \Delta \gamma_{rc} / 2h_{x,ab} = (\bar{\gamma}_{ab} - \bar{\gamma}_r) / h_{x,ab}$$

$$\bar{\gamma}_{ab} - \bar{\gamma}_r = \frac{1}{4}(\bar{\gamma}_a + \bar{\gamma}_b - \bar{\gamma}_{a'} - \bar{\gamma}_{b'})$$

$$\text{また} \bar{\gamma}_a = \frac{1}{2}(\bar{\gamma}_a + \bar{\gamma}_b - \bar{\gamma}_{a'} - \bar{\gamma}_{b'})$$

$$\text{その他は (3-A) } \bar{\gamma}_a \text{ と同じ}$$

また (4-3) 式は

$$Q_c = \bar{\gamma}_r - 1Q_{ab} / \left(\frac{B_{x,ab}}{2\tau} \right) \quad \cdots \cdots \cdots (4-3)_q$$

簡略式として: 一般的に μ_* , ν_* , $\varepsilon_{x,r}$ を共に 0 とすると

$$Q_c = \frac{Q_r - 2g \tau A_{x,ab} \Delta \gamma_{ab}}{1 + 2K_{x,r}} \quad \cdots \cdots \cdots (4-4)$$

また種々の形状に対する §3 の方法と同様に扱えよ。

§5. 二計算法の得失.

§3 の方法は時刻 t_{j-1} の要素から t_j における河道中間点での $\bar{\gamma}$ と Q が算出されており境界点を含む長さ Δx の実線矩形(図-2)では $\bar{\gamma}_c$ と Q_c は両方が既知となるから比較的複雑な境界条件(例えば水門などがある場合など)に対しても順応性が大きい。ただ計算を可能にするため $\bar{\gamma}_c$ を先に求めてから Q_c が始め

て求まりまた各表の要素は全部、式で求められ面倒である。これに対する34の方法は境界点を考えなくて済み計算式が約半分、式の使用回数が約 $\frac{1}{2}$ である速度上の利点があるが境界既知量が区域の両端で異種類であれば区域を奇数区間に、同種類であれば偶数区間に分けて始めて計算方式が可能となる。

3.6 等積平均値使用による効果

河道十法、粗度係数の外に流量の程度、水位の上昇速度、有限区間・時隔の大きさなども水位・流量の値に影響を及ぼし、且つ多くの様子を経由して傳達するから不正確な区域に対する一般的傾向の予想は困難である。差当り有限区間・時隔内で流量を一定として、不正確な平均中、平均水深、粗度を使用して、流量、水位に及ぼす影響を考える。便宜上、矩形に関する(3-1)式と(3-8)式について説明する。(3-1)式を $f(A_{ab}, B_*)$ と表すと $d\gamma_c = A_{ab} \left[\frac{d(A_{ab})}{A_{ab}} - \frac{dB_*}{B_*} \right] \dots \dots (6-1)$ が成立つ。

また(3-1)式において

$$K_{ab} = g n^2 dt / Q_{ab} B_*^{-1} h_*^{-\frac{1}{2}} = f(n, B_*, h_*)$$

$$A_{ab} d\gamma_{ab} = B_* h_* d\gamma_{ab} = f(B_*, h_*, d\gamma_{ab})$$

と表される。

$$dK_{ab} = K_{ab} \left[2 \frac{dh_*}{n} - \frac{dB_*}{B_*} - \frac{2}{3} \frac{dh_*}{h_*} \right] \dots \dots (6-2)$$

$$d(A_{ab} d\gamma_{ab}) = A_{ab} d\gamma_{ab} \left[\frac{dB_*}{B_*} + \frac{dh_*}{h_*} + \frac{d(K_{ab})}{d\gamma_{ab}} \right] \dots \dots (6-2)$$

の関係がある。

$\frac{dB_*}{B_*}$, $\frac{dh_*}{h_*}$ および $\frac{dn}{n}$ の程度がわかれれば、 $d\gamma_{ab}$ に対する影響は

$$dQ_c = Q_c (-dK_{ab}) - g c d(A_{ab} d\gamma_{ab}) \dots \dots (6-3)$$

と評価される。

(3-3)式を考えるとさうには更に $Q_c (2d\mu_x)$ と $Q_c (dE_{x0})$ を考慮すべきであるが $Q_c \cdot 2d\mu_x$ と $Q_c dE_{x0}$ は一般に他に比べて非常に小さく、 $\frac{dB_*}{B_*}$ と $\frac{dh_*}{h_*}$ に起因する変化は費用上、無意味な程

高次の微小量になると想像出来るので(6-3)式で dQ_c を推定し、 $Q_c \cdot 2d\mu_x$ と $Q_c \cdot dE_{x0}$ と dQ_c の果す役割の重要度を調べ、とるべき平均方式と項数をえて充分であろう。

34の方法について(4-4)を同様の考え方で扱うことが出来、ひでは省略する。

3.7 結び

二方法を隅田川の観測水理資料と形状に基づいて等積平均値を用いて検証した所、答認する差違内に達したことを見出た。

比較計算の結果と検証、附隨公式と従来の公式との比較などは別の報告にゆずる。

本文の出来上りは海岸研究室細井室長より与えられた多くの便宜と従来の人々の著作に多く負っている。

文献

- 1]. Holstens, H: <題自省略> La Houille Blanche, 1953, No. 4, pp. 495~509
- 2]. Schnoor, E: <省略> Bauingenieur, 34Jg (1959), H. 6. S. 231~240
- 3]. Rose, D: <省略> Bauingenieur, 35Jg (1960) H. 8, S. 327
- 4]. Stoker, J.J: <> Water waves> 1957, § 11.5
- 5]. 王方一: <差分法(53)…>
 - a). 土木技術資料 Vol(1961) No. 7.
 - b). <本文と同題>. 土木研究所報告, 学術未定以上 (1961-3-15).